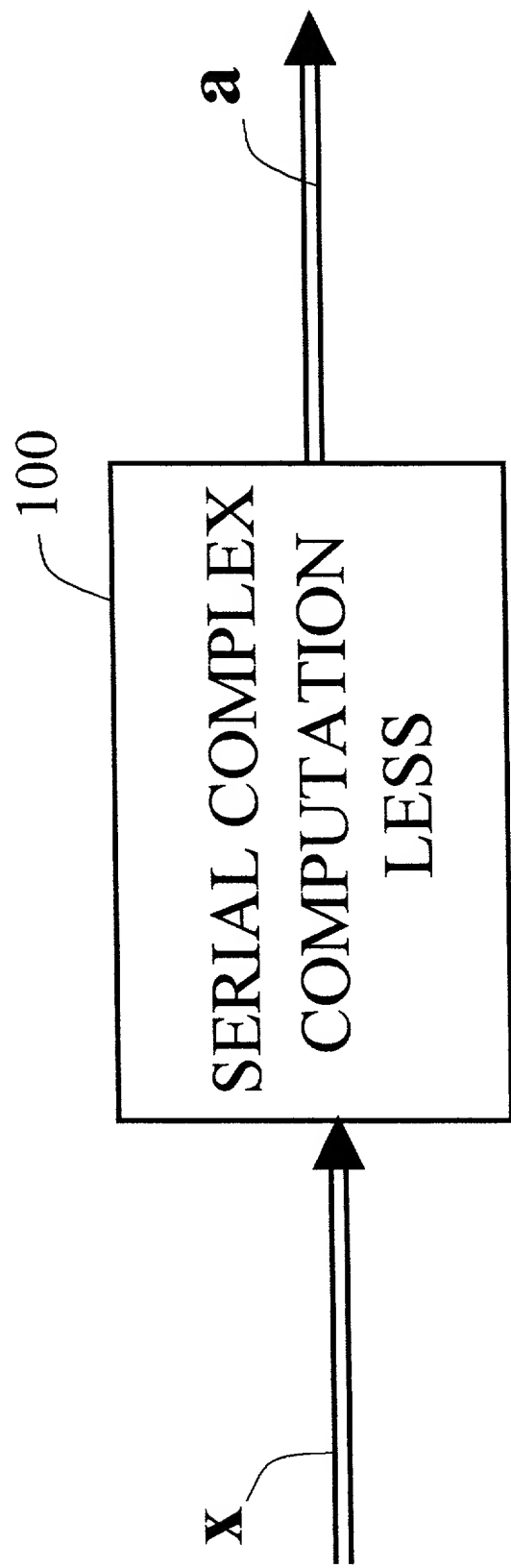
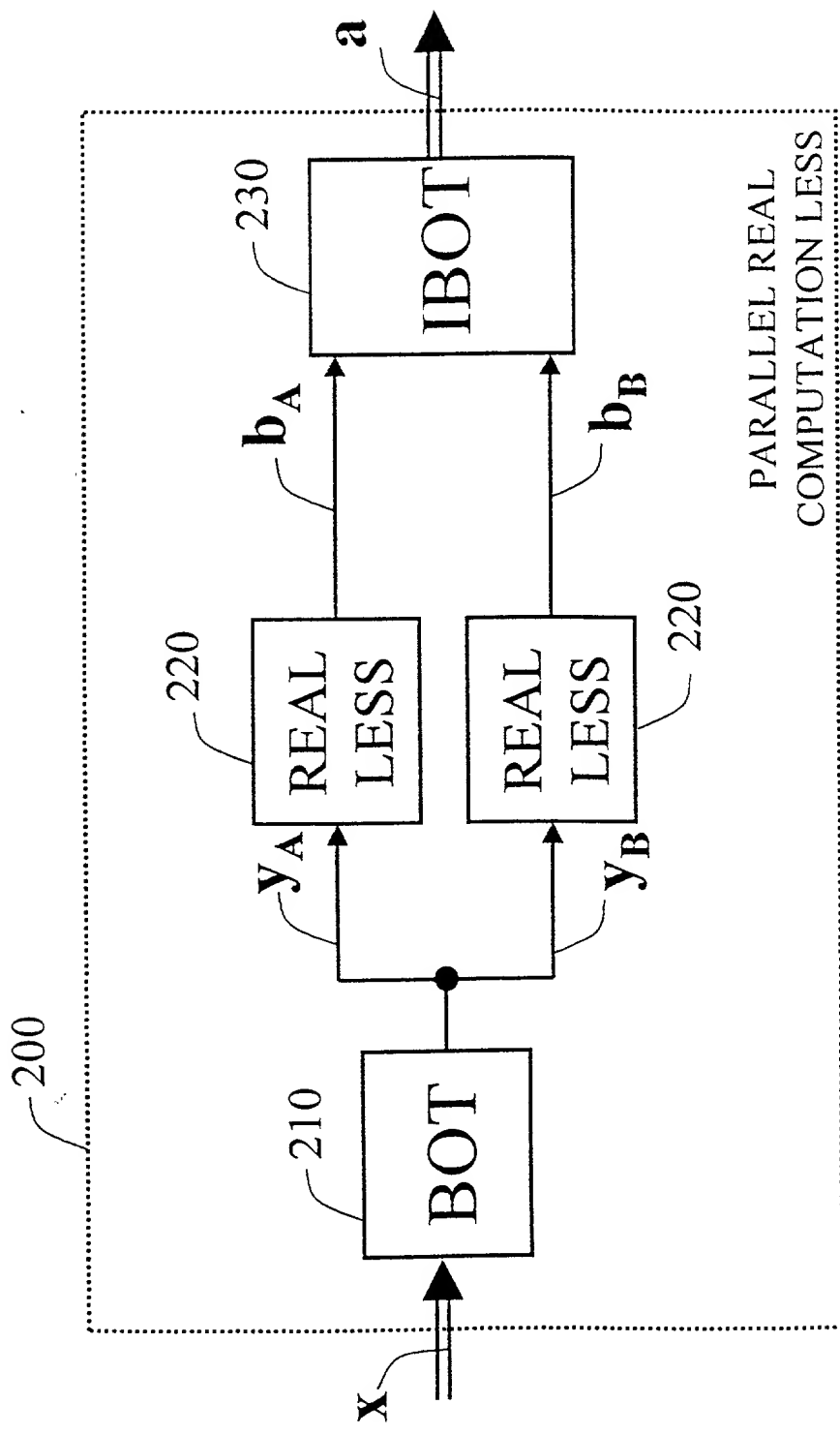


FIG. 1

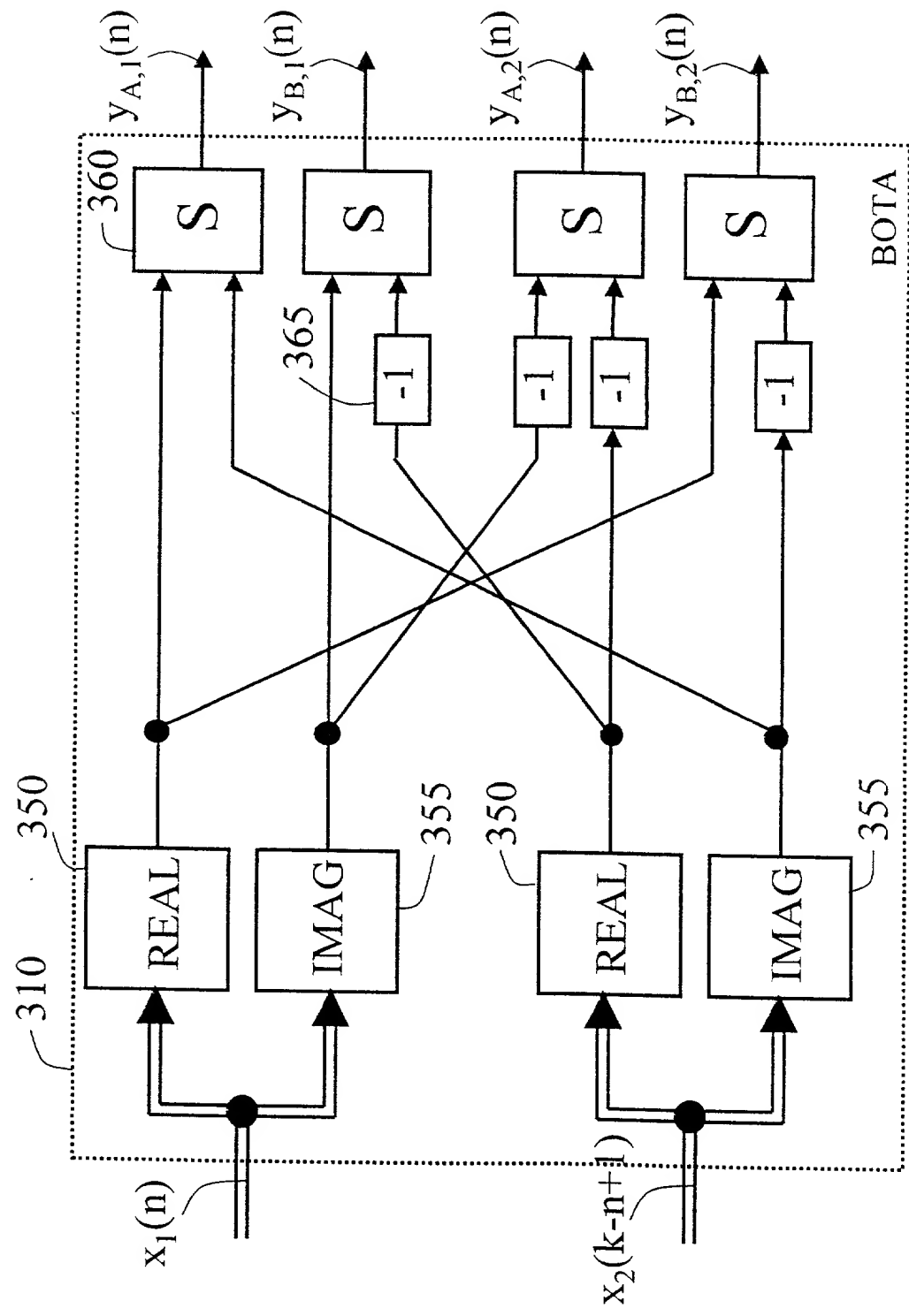
PRIOR ART

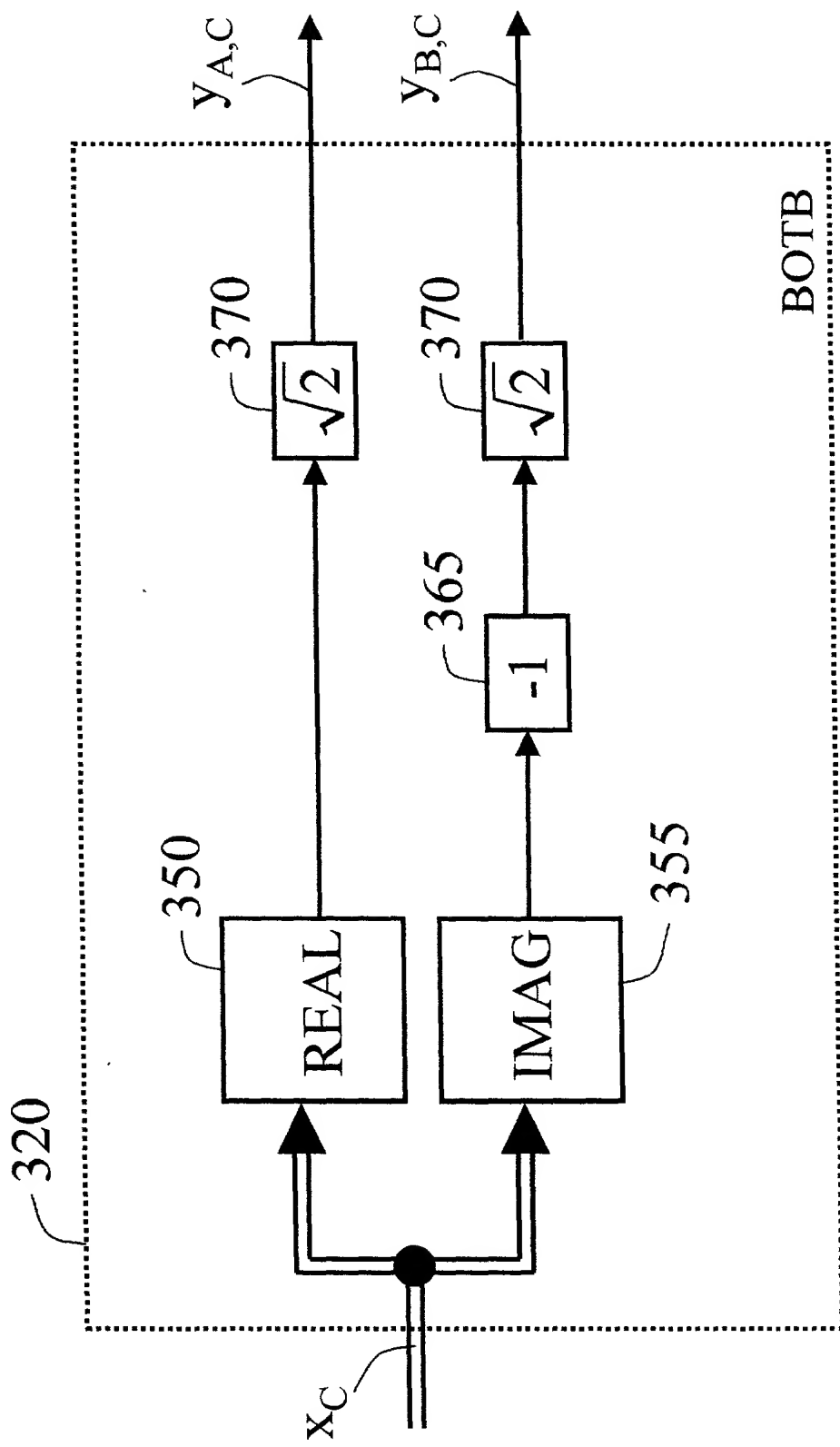


**FIG. 2**

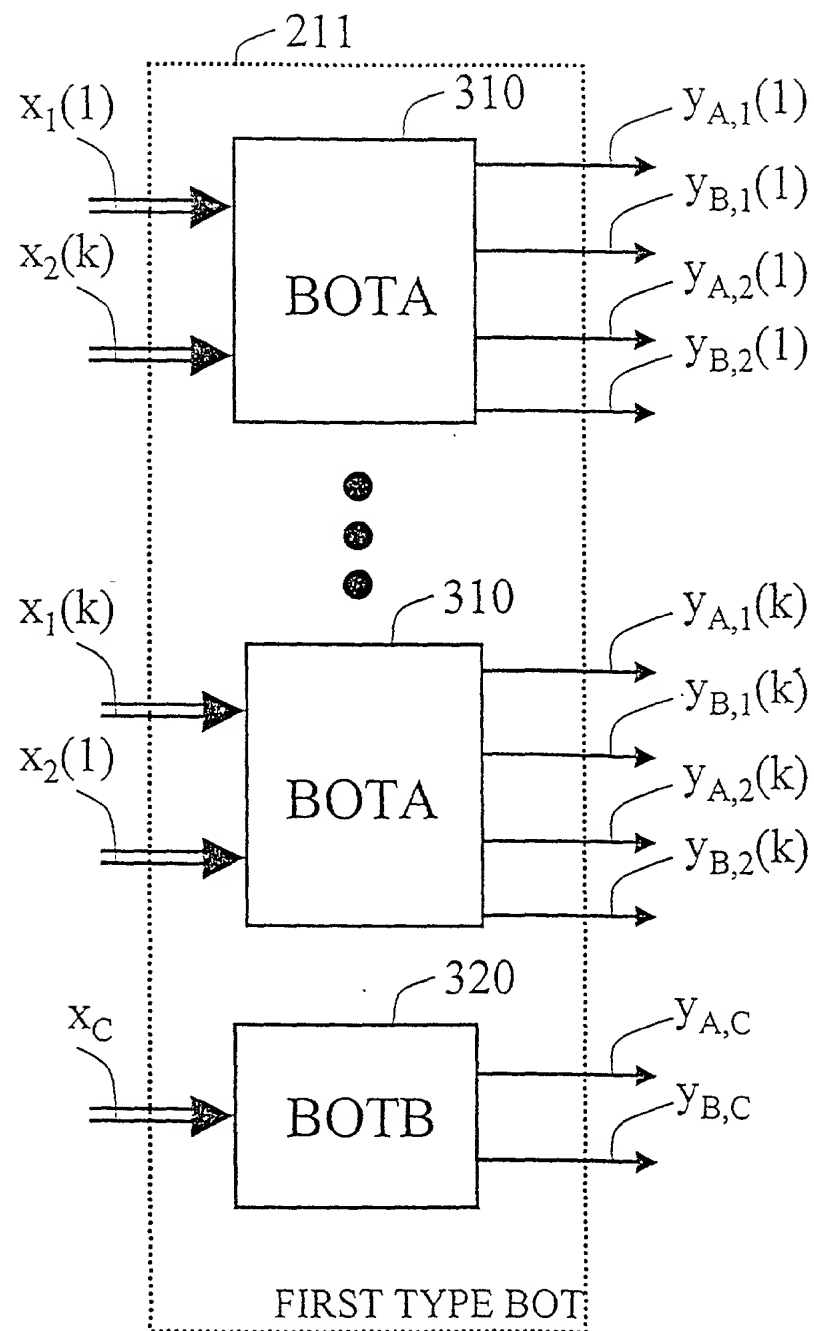


**FIG. 3A**





**FIG. 3B**



**FIG. 3C**

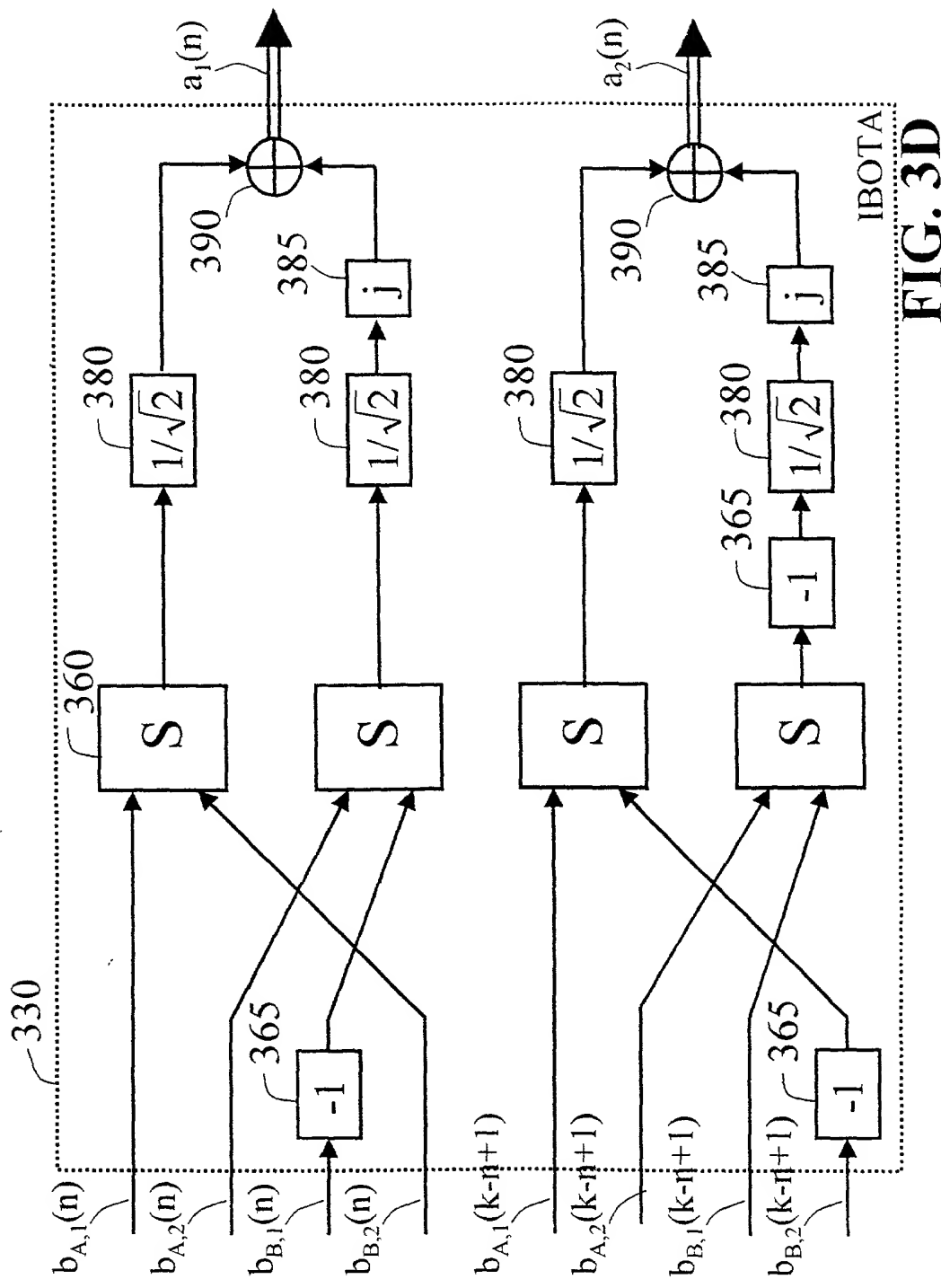


FIG. 3D

1000  
1000

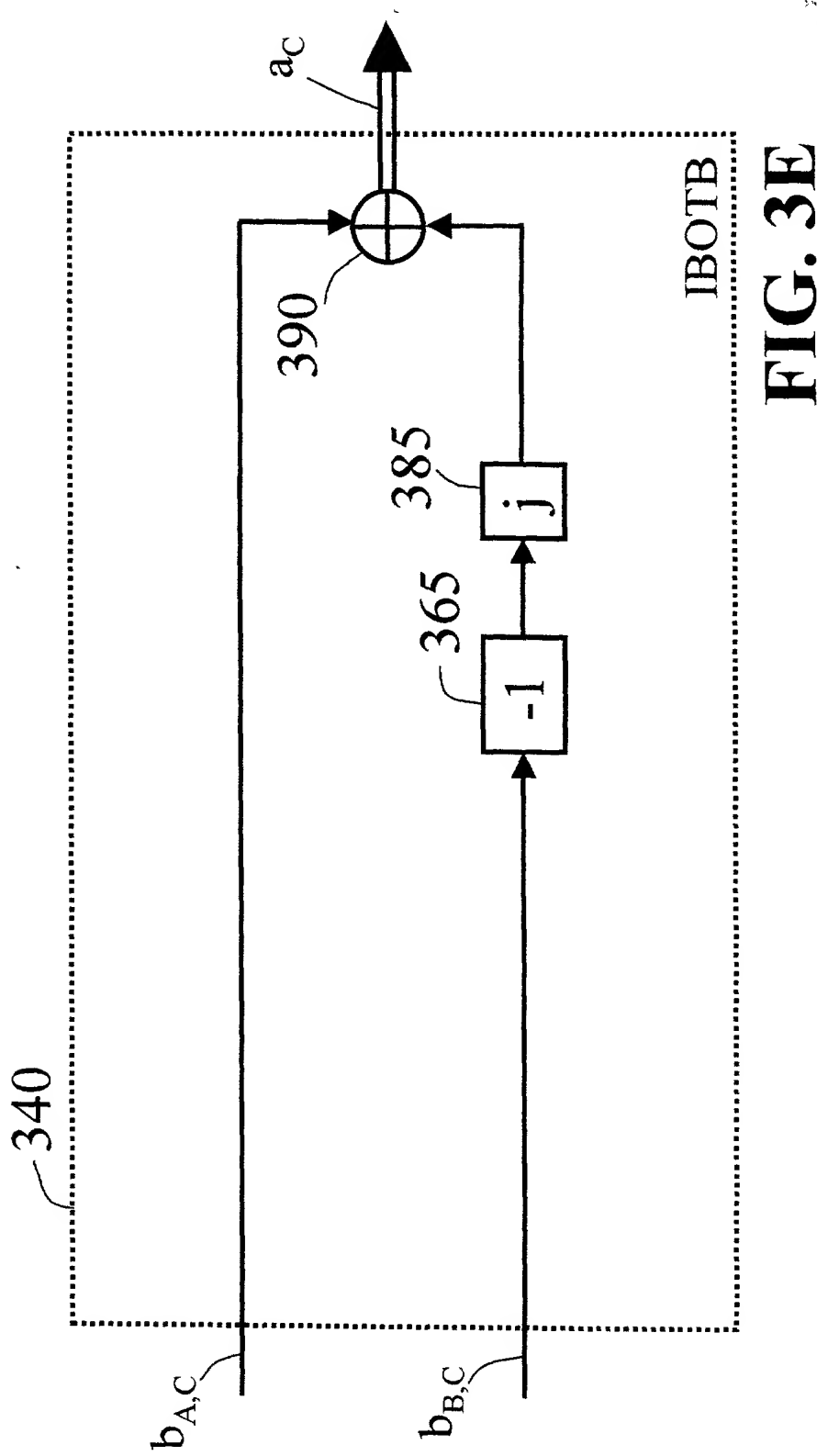
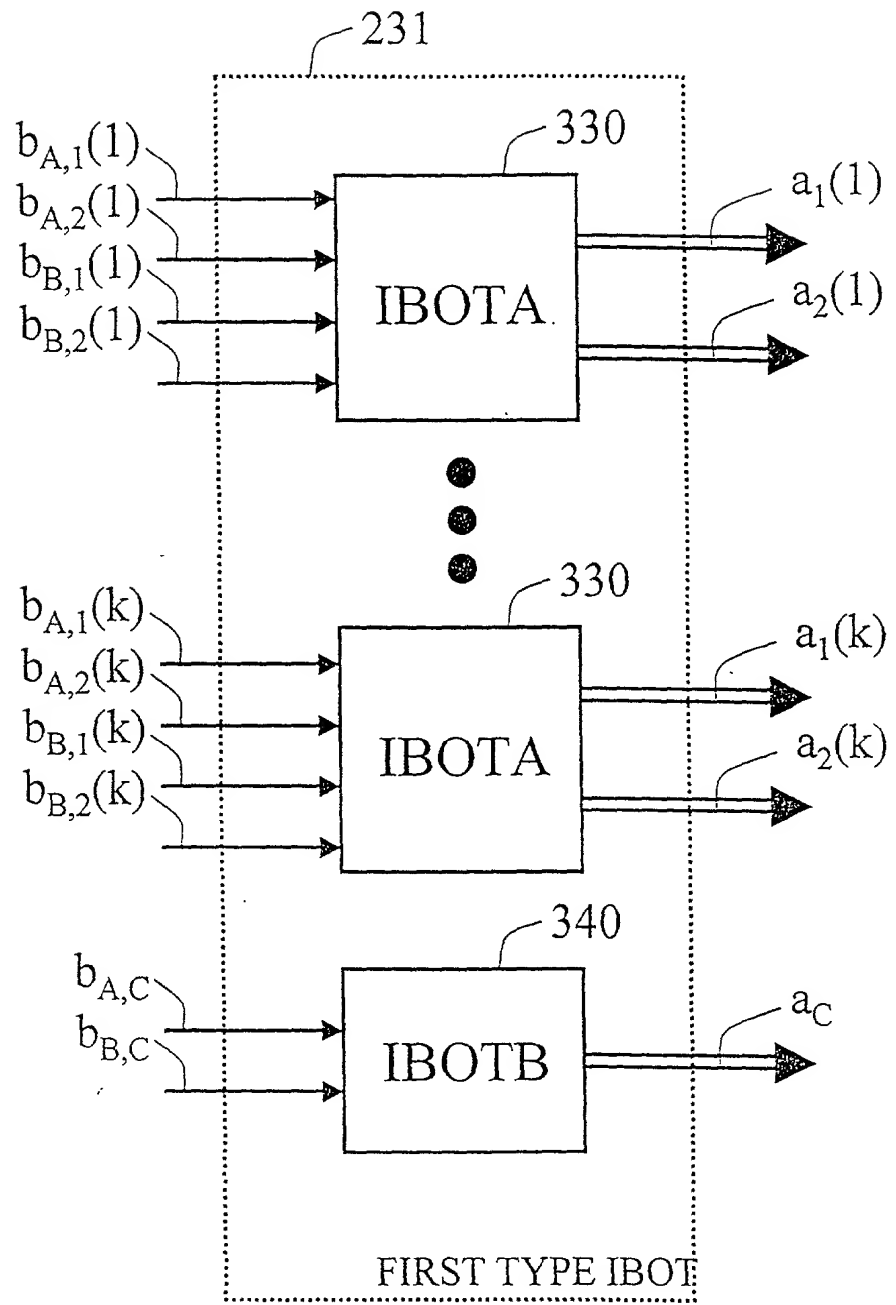
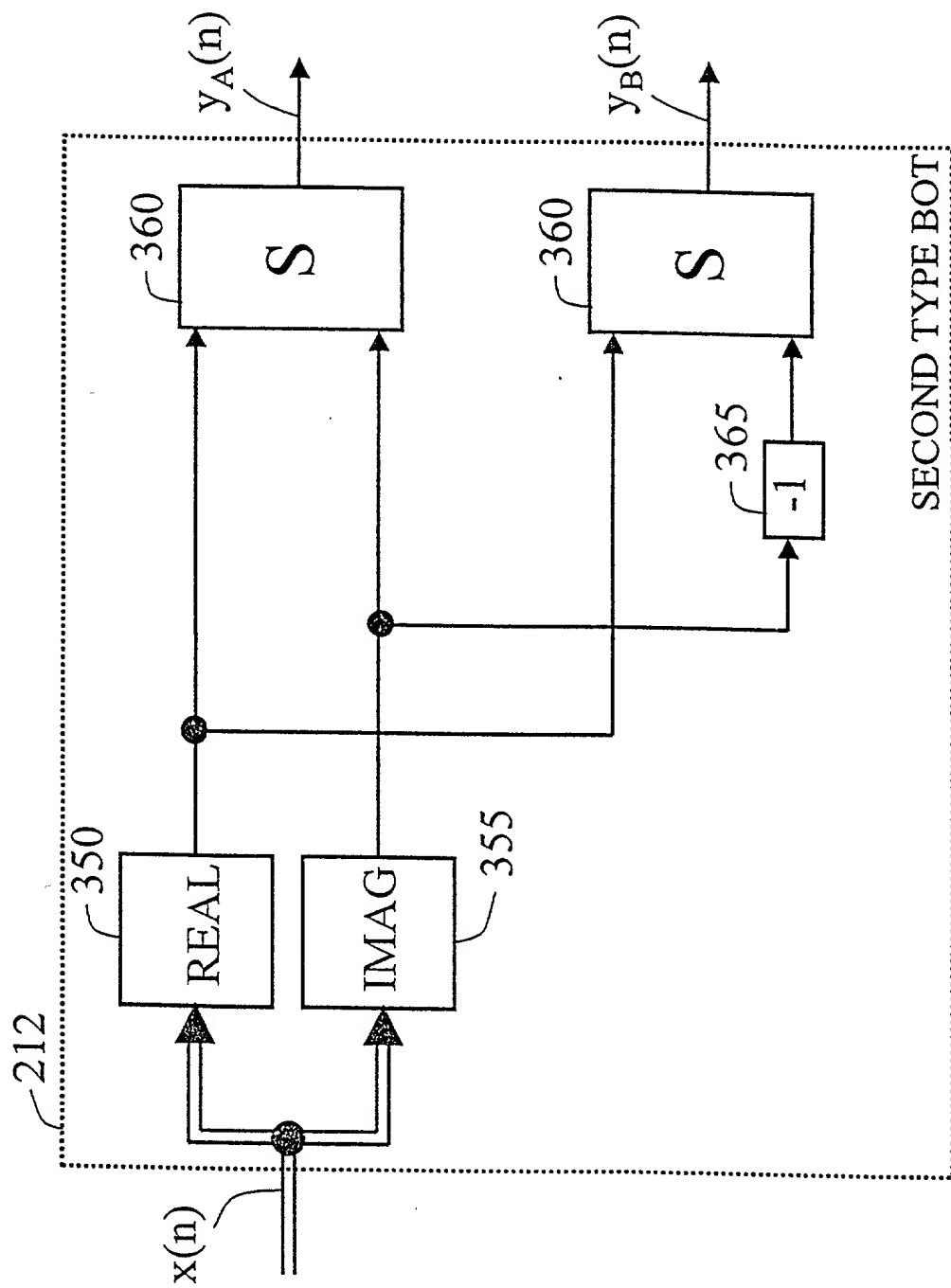


FIG. 3E

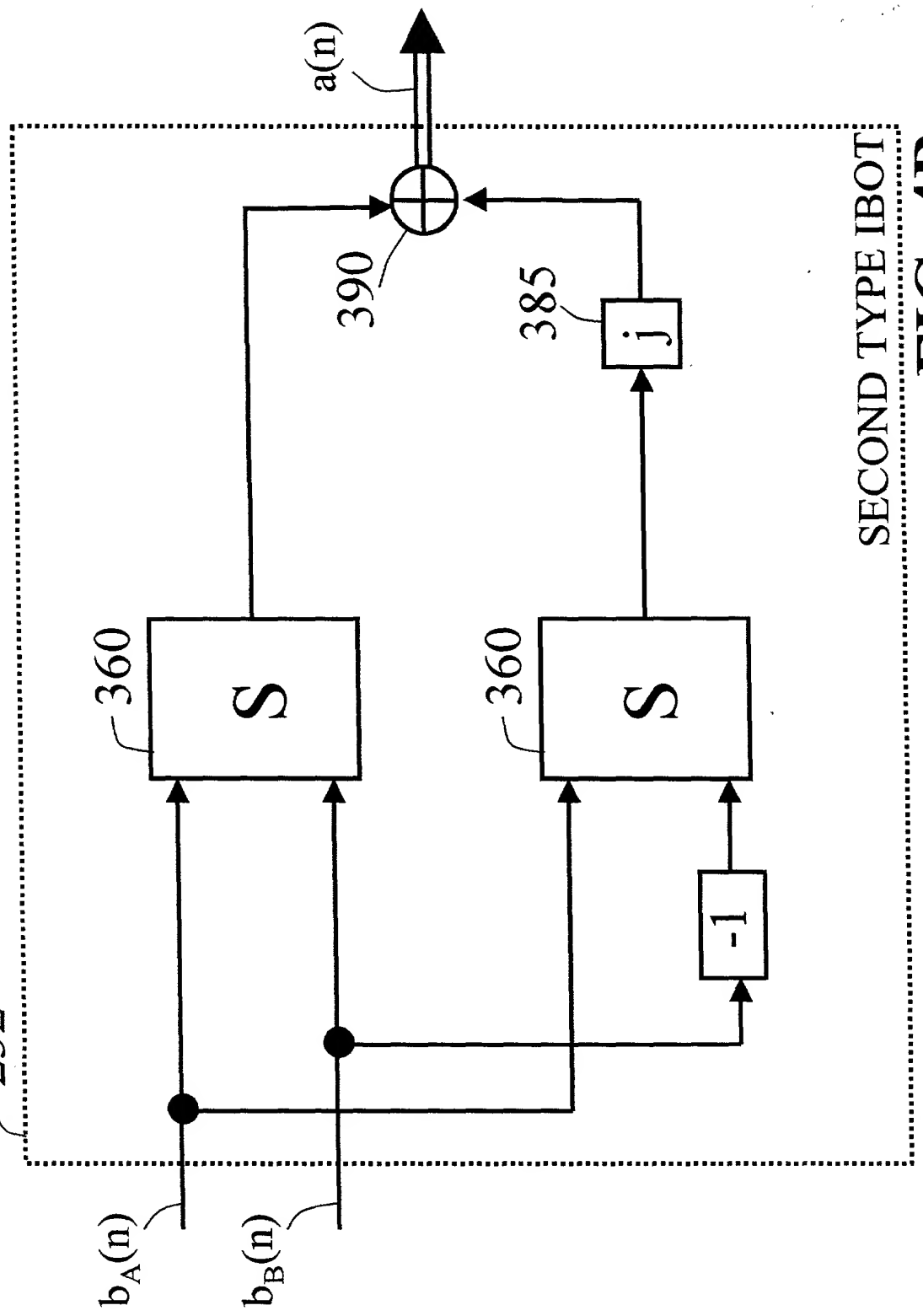


**FIG. 3F**



**FIG. 4A**

232



SECOND TYPE IIR  
FIG. 4B

SERIAL REAL  
COMPUTATION LESS

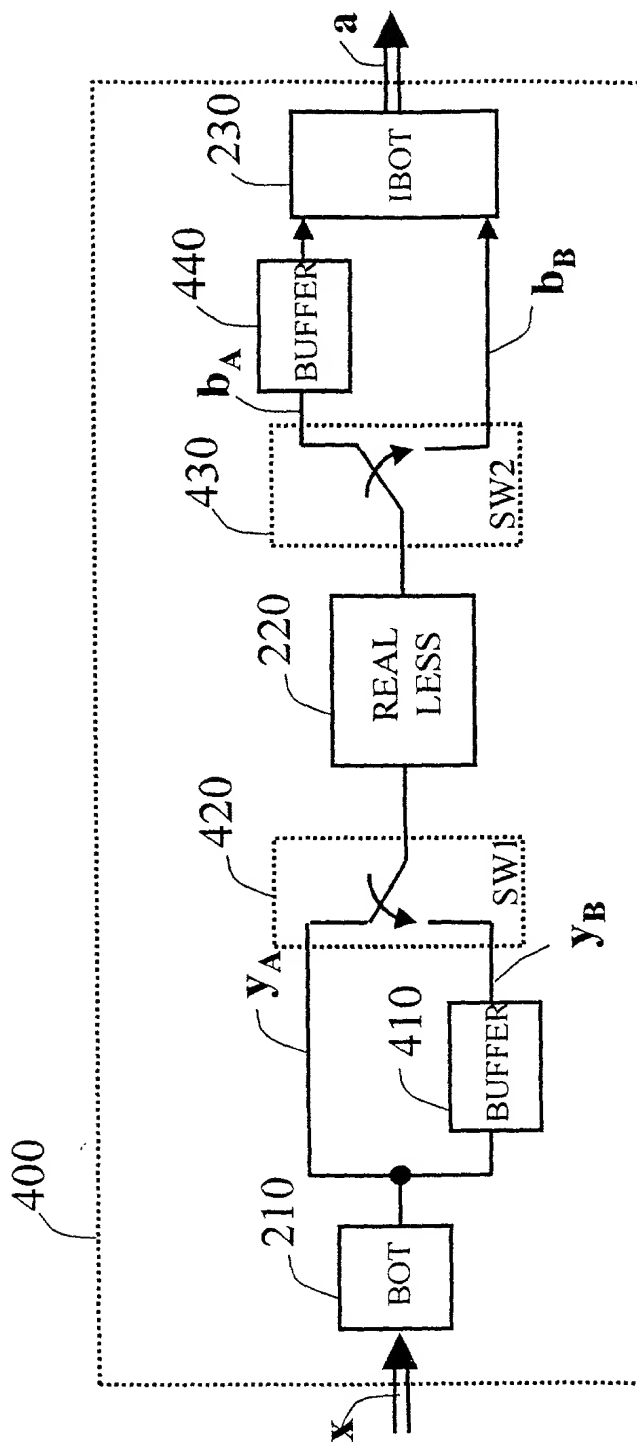


FIG. 5

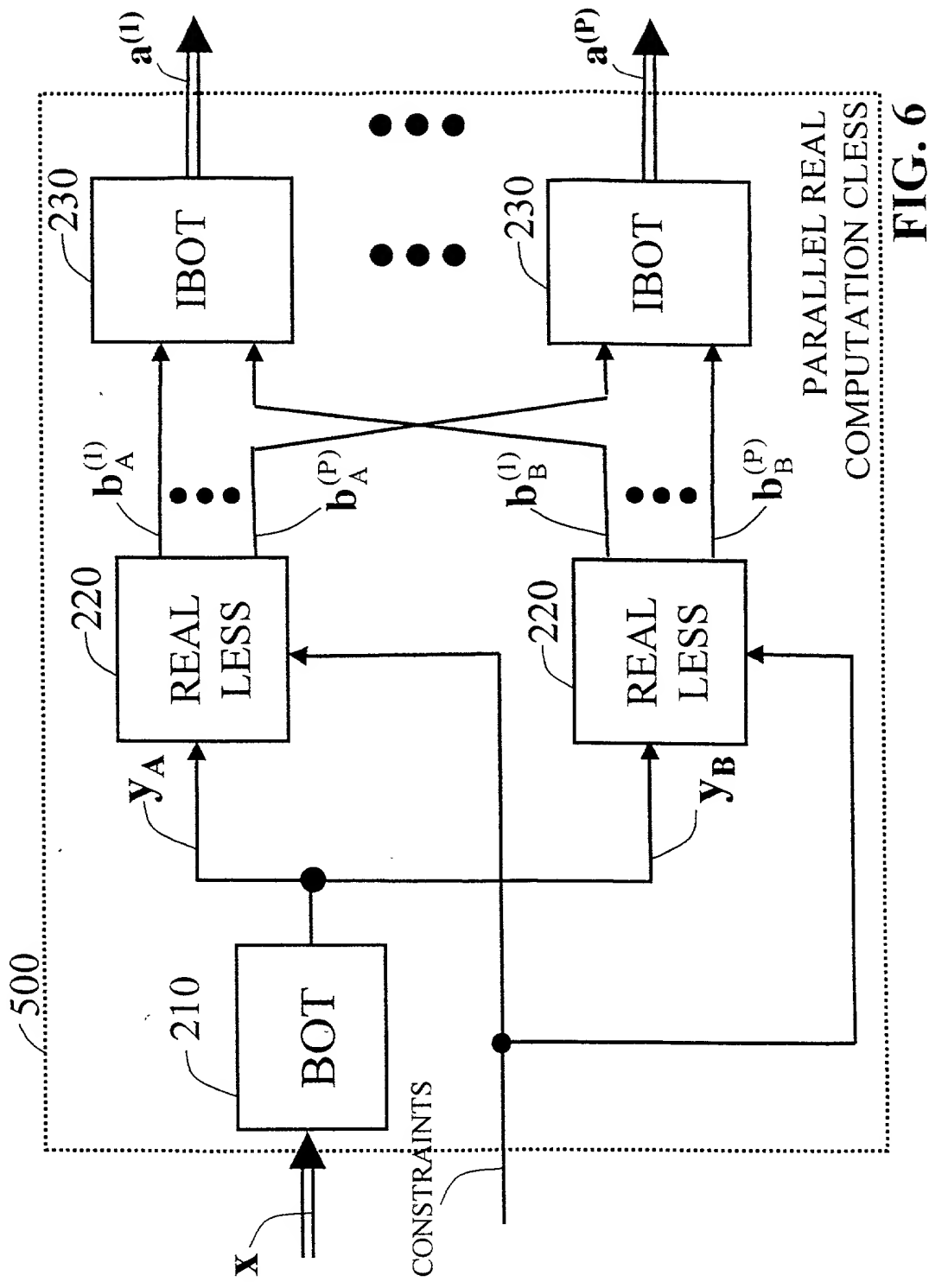


FIG. 6